

ردیابی مستقیم و هندسی اعضاء قطری ماتریس

نرمی تعیین یافته با کمک روند بهینه‌یابی برای شناسایی آسیب در سازه‌ها

مهندسی عمران شرق، (پهار ۹۶۰۱) دوری ۳، شماره ۱/۱، ص ۳۰-۳۲

علی زارع حسین‌زاده (کارشناس ارشد)

غلامرضا فخری‌امروز^{*} (استاد)

دانشکده‌ی هندسی عمران، دانشگاه علم و صنعت ایران

کاظم شاکری (دانشیار)

شروین گل‌آرا (دانشجوی کارشناسی ارشد)

دانشکده‌ی فنی و هندسی، دانشگاه حقیقت اردبیل

در این نوشتار دو روش جدید برای تشخیص آسیب در سازه‌ها با کمک اطلاعات مodal ارائه شده است. اساس روش‌ها بر پایه‌ی تعریف مسئله به صورت یک مسئله‌ی بهینه‌یابی استوار است. ماتریس نرمی تعیین یافته، به عنوان عامل اصلی ایجاد ارتباط بین اطلاعات مodal و آسیب رخداده در سازه‌ها معترض شده است. سپس دوتابع هدف پیشنهاد شده است، که به ترتیب بر پایه‌ی تطابق نقطه‌یی عناصر قطری ماتریس نرمی تعیین یافته و سنجش میزان انتقال هندسی بردار مشکل از این عناصر استوار هستند. در ادامه، مسئله‌ی بهینه‌یابی با کمک الگوریتم بهینه‌یابی رقابت استعماری حل شده است. کارآئی توابع پیشنهادی با مطالعه‌ی الگوهای آسیبی مختلف روی ۳ مثال عددی از سازه‌های مهندسی بررسی و چالش‌هایی نظیر تأثیرات نوافه‌ها مطالعه شده است. همچنین مطالعاتی پیژامون دقت توابع هدف پیشنهادی و میزان همگلی الگوریتم بهینه‌یابی در اجرای مختلف صورت پذیرفته و مقایسه‌یی بین روش‌های پیشنهادی و یکی از روش‌های موجود انجام شده است. نتایج به دست آمده بیان‌گر دقت بالا و کارآئی بهتر تابع هدف دوم هستند.

ali.hoseinzade@civileng.iust.ac.ir
ghodrati@iust.ac.ir
shakeri@uma.ac.ir
shervin.golara1@gmail.com

واژگان کلیدی: تشخیص آسیب در سازه‌ها، ماتریس نرمی تعیین یافته، معیار سنجش میزان اطمینان مودی، الگوریتم بهینه‌یابی رقابت استعماری، سازه‌های مهندسی.

۱. مقدمه

و اساس تمام آن‌ها بر پایه‌ی تحریک سازه و آنالیز عکس‌العمل‌های ثبت شده از این تحریک استوار است.^[۱] گرچه تحریک سازه به دو طریق استاتیکی و دینامیکی امکان‌پذیر است، اما به‌طورکلی، دشواری‌های تحریک استاتیکی و صعوبت ثبت پاسخ‌های متناظر با آن باعث شده است تا بیشتر پژوهشگران به دنبال تسویه‌ی روش‌هایی باشند که از طریق تحریک دینامیکی و ثبت اطلاعات ارتعاشی سازه (نظیر بسامدهای طبیعی و اشکال مودی) به آشکارسازی آسیب می‌پردازند. روش‌های آشکارسازی مبتنی بر پاسخ‌های ارتعاشی را در حالت کلی به ۲ دسته می‌توان تقسیم کرد:

۱. روش‌هایی که با راهبرد مستقیم^۱، به شناسایی آسیب می‌پردازند و بسیار متنوع هستند. روش‌های مبتنی بر محاسبات نرم^[۲-۴] و یا روش‌های مبتنی بر پردازش

سازه‌های مهندسی در طول عمر خود، شرایط مختلفی را تجربه می‌کنند، که ممکن است تحت شرایط مذکور آسیب‌های مختلفی در آن‌ها ایجاد شود. مثلاً بالگردگاری‌های ناگهانی، نظری بر زلزله و ضربه، و یا شرایط محیطی نظیر فرسایش و هوای دگر می‌توانند آسیب‌هایی را به وجود آورند. گرچه امکان دارد پاره‌یی از این آسیب‌ها بسیار جزئی باشند و در رفتار کلی سازه، مشکلی را به وجود نیاورند، اما عدم شناسایی به موقع آن‌ها می‌تواند در آینده وقایع ناگواری را به دنبال داشته باشد. بر همین اساس، پژوهشگران روش‌های مختلفی را جهت آشکارسازی زودهنگام آسیب‌های رخداده در سازه‌های مهندسی ارائه کرده‌اند. فرض اصلی روش‌های مذکور آن است که آسیب باعث تغییرات سختی در اعضاء آسیب‌دیده می‌شود

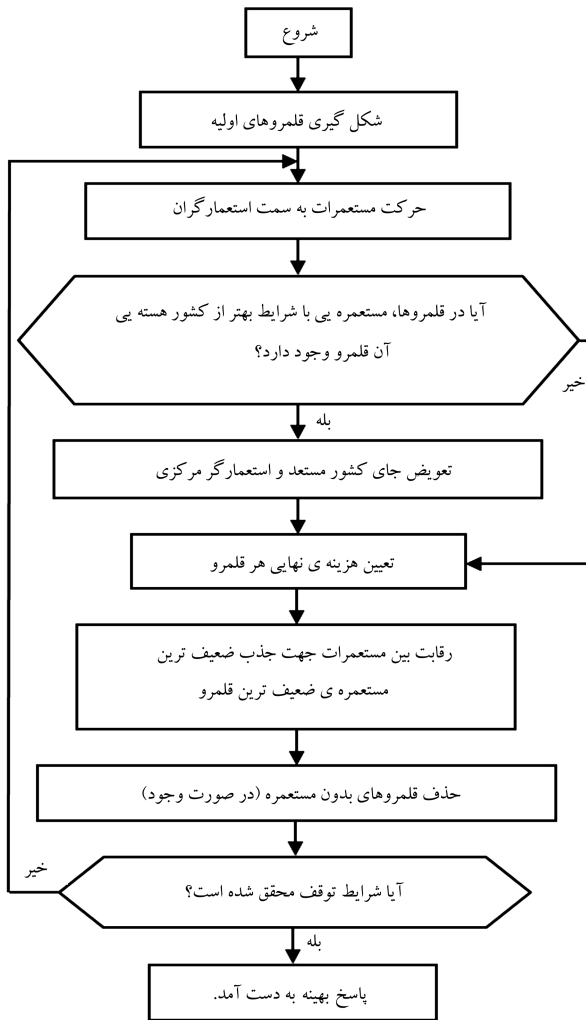
* نویسنده مسئول

تاریخ: دریافت ۱۵/۹/۱۳۹۳، اصلاحیه ۲۲/۱، پذیرش ۸/۴/۱۳۹۴.

است. این الگوریتم بر مبنای اصول آمار و احتمالاتی استوار است و لذا، در قیاس با سایر الگوریتم‌های بهینه‌یابی تکاملی^[۱۵]، سرعت هم‌گرایی بسیار بالای دارد.^[۱۳,۱۴] به منظور بررسی کارآیی روش‌های پیشنهادی، ۳ مثال عددی شامل: یک قاب ۳ طبقه، یک خرپای ۱۵ عضوی، و یک تیر ساده‌ی ۲۰ المانه تحت الگوهای آسیبی مختلف مورد بررسی قرار گرفته و چالش‌های مختلفی نظر تأثیرات وجود نویه در اطلاعات اولیه و تأثیرات تعداد مودهای در دسترس مطالعه شده است. همچنین، مقایسه‌یی بین دقت و سرعت هم‌گرایی الگوریتم بهینه‌یابی رقابت استعماری و زتیک صورت پذیرفته است. نتایج به دست آمده حاکی از کارآیی روش‌های ارائه شده در شناسایی آسیب در سازه‌های مهندسی هستند. همچنین، مقایسه‌ی انجام شده بین دقت توابع هدف ارائه شده، بیان‌گر حساسیت کم تابع هدف دوم به وجود نویه‌های انفاقی است.

۲. الگوریتم بهینه‌یابی

الگوریتم بهینه‌یابی مورد استفاده در این نوشتار، الگوریتم بهینه‌یابی رقابت استعماری است. فلوچارت کلی این الگوریتم در شکل ۱ نشان داده شده است. این الگوریتم که نخستین بار در سال ۲۰۰۷ مطرح شده است، برایه‌ی یک پذیده‌ی اجتماعی



شکل ۱. روند کلی الگوریتم بهینه‌یابی رقابت استعماری.

سیگنال‌ها،^[۱۶] جزو مهم‌ترین روش‌های این دسته هستند. در کنار آن‌ها، پاره‌ی از پژوهشگران با ارائه‌ی روش‌های محاسباتی نوین اقدام به تشخیص مستقیم آسیب در سازه‌ها کردند.^[۱۱-۱۲]

۲. روش‌هایی که مسئله‌ی تشخیص آسیب را به صورت یک مسئله‌ی معکوس^[۲] معرفی کردند و لذا، با تعریف پارامتریک آسیب در مدل عددی سازه‌ی مونیتور شده، به ارائه‌ی روشی جهت آشکارسازی آسیب پرداخته‌اند. علی‌رغم اینکه برخی از پژوهشگران برای حل چنین مسئله‌یی، از روش‌های عددی مبتنی بر آزمون و خطای مستقیم نظر منظم‌سازی ریاضی^[۴] بهره برده‌اند.^[۱۳,۱۴] عدم هم‌گرایی دقیق به پاسخ مورد انتظار، که ناشی از ماهیت ناهمگون وار^[۵] فضای پاسخ مسئله به واسطه‌ی عدم قطبیت‌های متداول است، پژوهشگران را به سمت تعریف مسئله‌ی معکوس با کمک تابع هزینه^[۶] بی حساس به رخداد آسیب و حل آن با کمک الگوریتم‌های بهینه‌یابی جدید سوق داده است. در این راستا، دو بحث مهم وجود دارد: ۱. ارائه‌ی تابع هدفی با حساسیت مناسب به رخداد آسیب؛ ۲. استفاده از الگوریتم بهینه‌یابی با دقت و سرعت هم‌گرایی بالا. استفاده از روش‌های بهینه‌یابی کلاسیک به واسطه‌ی نیاز به محاسبات سنگین ریاضی، عموماً با اقبال زیادی رو به رو شده است. از جمله مطالعاتی که از الگوریتم‌های بهینه‌یابی کلاسیک به تشخیص آسیب پرداخته‌اند، می‌توان به پژوهشی در سال ۲۰۰۵ اشاره کرد.^[۱۴] این در حالی است که استفاده از بهینه‌یابی‌های نوین و الهام‌گرفته از طبیعت، طرفداران زیادی دارد.^[۱۵] در کنار این قضیه، ارائه‌ی تابع هدف حساس نیز بسیار مهم است. در سال ۲۰۰۹^[۱۵] ضمن بهره‌گیری از تغییرات نرم‌السازی آسیب معرفی و طبیعی و شکل‌های مودی، تابع هدف چندگانه‌یی برای شناسایی جستجوی الگو^[۶] و زتیک، به تشخیص آسیب در پلیت‌ها پرداخته و نشان داده شده است که الگوریتم بهینه‌یابی زتیک، پایداری بیشتری دارد.^[۱۶] در سال ۲۰۱۳، نیز با کمک بردار شبکه‌نروری سازه‌یی و الگوریتم بهینه‌یابی جستجوی گرانشی^[۹]، به تشخیص محل و شدت آسیب در تیرها پرداخته شده است.^[۱۹] همچنین در پژوهش دیگری در همان سال، به منظور شناسایی آسیب در رقاب‌های برتری، روشی دو مرحله‌یی با بهره‌گیری از شبیه شکل مود اول سازه‌ها ارائه و در گام اول، محل آسیب (های) احتمالی شناسایی، و در گام دوم با ارائه‌ی تابع هدف مبتنی بر ضرایب خاکستری^[۱۰]، شدت آسیب در آمان‌های مشکوک تعیین شده است.^[۱۱] به تازگی، نیز با الگوریتم بهینه‌یابی جستجوی سیستم باردارشده^[۱۱] و با استفاده از اطلاعات مودال، آسیب‌های ارائه‌ی رخداده در سازه‌های مهندسی شناسایی شده و حساسیت نسبتاً کم به نویه^[۱۲] های اتفاقی، مهم‌ترین مزیت روش پیشنهادی مذکور بوده است.^[۱۲]

علی‌رغم موفقیت روش‌های مذکور در شناسایی محل و شدت آسیب‌ها، پژوهشگران کماکان به دنبال روش‌هایی هستند که ضمن استفاده از اطلاعات مودال محدود، بتواند محل و شدت آسیب را با سرعت بالایی تشخیص دهد. در این نوشتار با استفاده از ماتریس نرمی تعیین‌یافته^[۱۳]، دو تابع هدف جدید جهت رابطه‌سازی مسئله‌ی شناسایی آسیب به عنوان یک مسئله‌ی بهینه‌یابی ارائه شده است. این تذکر لازم است که ماتریس نرمی تعیین‌یافته، امکان ارائه‌ی تصویری کلی از معکوس ماتریس سختی سازه را فقط با کمک اطلاعات تعداد محدودی از مودهای پایین تر سازه فراهم می‌آورد. تابع هدف ارائه شده، به ترتیب برایه‌ی راهبرد انتظامی نظریه‌یی و روند تطبیق هندسی اعضاء روی قطر اصلی ماتریس نرمی تعیین‌یافته استوار هستند. برای حل مسئله‌ی بهینه‌یابی از الگوریتم بهینه‌یابی رقابت استعماری^[۱۴] استفاده شده

استوار است و جزء الگوریتم های تکاملی دسته بندی می شود.^[۲۴، ۲۵] همانند سایر الگوریتم های بهینه سازی، این الگوریتم هم کار خود را با اتخاذ تعدادی جمعیت اولیه، به نام «کشورهای اولیه» آغاز می کند. سپس، تعدادی از مناسب ترین کشورها (جمعیت نخبه)، انتخاب و به عنوان «کشورهای استعمارگر» در نظر گرفته می شوند. بقیه کشورها هم در نقش مستعمره ظاهر شده و بر حسب قدرت استعمارگران بین آنها تقسیم می شوند. به این ترتیب، قلمروهای اولیه شکل می گیرند. قدرت هر قلمرو، به صورت مجموعه بی از قدرت استعمارگر مرکزی آن قلمرو و مستعمرات مربوط محاسبه می شود. در ادامه، فرایند رقابت جذب مستعمرات از قلمروی حاضر و نیز از قلمروهای مجاور آغاز می شود. بدینه است هر قلمرویی که نتواند موفق عمل کند، از صحنه رقابت حذف می شود. بنابراین بقای یک قلمرو، به قدرت آن در جذب مستعمرات قلمروهای رقیب بستگی خواهد داشت. در نتیجه، در جریان رقابت های استعماری، به تدریج بر قدرت قلمروهای بزرگ ترا فزوده و بالتبغ، قلمروهای ضعیف تر حذف خواهند شد. با گذشت زمان، مستعمرات از لحاظ قدرت به استعمارگران موجود نزدیک تر خواهند شد و عرصه رقابت، شاهد یک نوع هم گرایی کلی خواهد بود. پایان بخش این رقابت زمانی است که یک قلمروی واحد با مستعمراتی بسیار نزدیک به موقعیت کشور استعمارگر مرکزی بوجود آید.^[۲۶، ۲۷] لازم به توضیح است که رقابت های ذکر شده در این الگوریتم، بر پایه محاسبات آماری و احتمالاتی رابطه سازی شده اند؛ ولذا، عدم نیاز به محاسبات مبتنی بر مشتق گری، یکی از عوامل اصلی سرعت بالای این الگوریتم در جستجوی فضای پاسخ است.

۳. روش پیشنهادی ۱

روش های پیشنهادی در این نوشتار، بر مبنای وارسی اعضاء قطری ماتریس نرمی تعیین یافته استوار هستند. الگوریتم پیشنهادی ۱، بر پایه ارائه تابع خطای مستقیم رابطه بندی شده است. این روند، با کمک راهبرد انطباق نقطعی قابل پیاده سازی است. نمونه هایی از تابع هدف مبتنی بر انطباق نقطعی را می توان در برخی مطالعات^[۲۶، ۲۷] مشاهده کرد. راهبرد انطباق نقطعی، به ارائه رابطه بی ساده، جهت تطبیق نقطه به نقطه کرد. راهبرد انطباق نقطعی، فرض می شود که درایه های روی قطر اصلی ماتریس نرمی تعیین یافته ای اول، با بردار v نشان داده شود (رابطه ۴):

$$\mathbf{v} = \begin{Bmatrix} v_1 & v_2 & \dots & v_{N_d} \end{Bmatrix}^T, \quad v_i = \mathbf{f}_m^l(i, i) \quad (4)$$

تابع هدف را می توان به صورت رابطه ۵ ارائه کرد:

$$J_1(d_1, d_2, \dots, d_{N_e}) = \|\mathbf{v}_d - \mathbf{v}_m\| = \sqrt{\sum_{i=1}^{N_d} (v_d(i) - v_m(i))^2} \quad (5)$$

که در آن، علامت $\|\cdot\|$ ، نشان دهنده نرم اقلیدسی، و اندیس های d و m ، به ترتیب نشان دهنده بردار v محاسبه شده براساس داده های به دست آمده از حدس سطوح آسیب و داده های اندازه گیری شده از سازه تحت بررسی هستند. ضرایب d_1 تا d_{N_e} ، ضرایب مجهول آسیب برای المان های اول تا N_e هستند. یادآور می شود که با توجه به تعریف آسیب به صورت کاهش سختی المان های آسیب دیده، ضرایب d در تشکیل ماتریس سختی المان ها دخالت دارند. به عنوان مثال، ماتریس سختی المان زام با سطح آسیب مجهول d_j ، به صورت رابطه ۶ خواهد بود:

$$\mathbf{K}_j^d = (1 - d_j) \mathbf{K}_j \quad (6)$$

با توجه به اینکه آسیب هر المان به صورت عددی بین 0 و 1 است، لذا، مسئله بیهوده بیانی تشخیص آسیب، به صورت رابطه ۷ تعریف می شود:

$$\text{Find } \mathbf{d} = \begin{Bmatrix} d_1 & d_2 & \dots & d_{N_e} \end{Bmatrix}^T \Rightarrow \text{Minimize } J_1 \quad (7)$$

Subject to: $0 \leq d_i \leq 1, \forall i$

در ادامه، این تابع با کمک الگوریتم بهینه سازی رقابت استعماری مورد بررسی و ارزیابی قرار گرفته و پاسخ های بهینه سازی تابع، به عنوان جواب های مسئله آشکار سازی آسیب معرفی شده است. همان طور که واضح است، تابع هدف ۱، بر مبنای کنترل مستقیم اعضاء قطری ماتریس نرمی تعیین یافته ای اول استوار است. در بخش بعدی، تابع هدف دیگری پیشنهاد شده است، که در آن از راهبرد کنترل هندسی جهت معرفی تابع هدف استفاده می شود.

۳. جزئیات روش های پیشنهادی

۳.۱. ماتریس نرمی تعیین یافته

در این قسمت، به معرفی ماتریس نرمی تعیین یافته پرداخته شده است. فرض شده است سازه مورد مطالعه، سازه بی با N_e المان و N_d درجه آزادی است. ماتریس نرمی این سازه را می توان به عنوان معکوس ماتریس سختی مطابق رابطه ۱ در نظر داشت:

$$\mathbf{F} = \Phi \Gamma^{-1} \Phi^T \quad (1)$$

که در آن، \mathbf{F} ماتریس نرمی، Φ ماتریس شامل بردارهای شکل مودی m مود اول سازه و Γ ماتریسی قطری است، که درایه های روی قطر اصلی آن برابر مربع بسامدهای طبیعی m مود است. مهم ترین مشخصه ماتریس نرمی آن است که می توان با کمک اطلاعات فقط چند مود اول سازه، دیدگاه مناسبی را نسبت به ماتریس سختی سازه تجسم کرد. این در حالی است که اگر بخواهیم با معکوس کردن رابطه ۱ رابطه بین ماتریس سختی و اطلاعات مodal سازه بدست آوریم، عملاً به خاطر محدودیت های مرتبط ماتریس ها، نیاز به اطلاعات مodal تمامی مودها خواهیم داشت. علی رغم قابلیت بالای ماتریس نرمی در بررسی وضعیت سازه با کمک اطلاعات چند مود پایین سازه، در پژوهشی در سال ۱۰^[۲۸، ۲۹] با معرفی ماتریس نرمی تعیین یافته سعی شده است تا میزان وابستگی ماتریس نرمی به اطلاعات مodal شدیداً کاهش داده شود و فقط با کمک اطلاعات ۱ یا ۲ مود اول، تخمین مناسبی از معکوس ماتریس سختی ارائه شود. ماتریس نرمی تعیین یافته را می توان با پس ضرب کردن عبارت $(MF)^T$ در رابطه ۱ بدست آورد (رابطه ۲):

$$\mathbf{f}_m^l = \mathbf{F}(MF)^T \quad (2)$$

۳.۳. روش پیشنهادی ۲

روش پیشنهادی ۲، بر پایه‌ی بررسی انطباق هندسی اعضاء قطری ماتریس نرمی تعیین یافته‌ی مرتبه‌ی اول استوار است. برای بررسی انطباق هندسی، از معیار سنجش مودی (MAC) ^{۱۶} استفاده می‌شود. این پارامتر، در ابتدا فقط به عنوان شاخصی جهت اطمینان از صحت اطلاعات مودال به دست آمده از آنالیز پاسخ‌های حوزه‌ی پسامدی بسط داده شد، ^[۱۸, ۱۹] و بعداً، برای تشخیص سلامت سازه‌ها استفاده شده است. ^[۲۰] فرض می‌شود دو بردار a و b موجود است. معیار سنجش اطمینان برای این دو بردار، به صورت رابطه‌ی ۸ تعریف می‌شود:

$$\text{MAC} = \frac{|a^T b|}{(a^T a)(b^T b)} \quad (8)$$

بنابراین، ضریب MAC، می‌تواند میزان تطابق دو بردار را بسنجد و عددی بین ۰ و ۱ را به عنوان مشخصه‌ی که میزان تطابق دو بردار را نشان می‌دهد، بیان کند. بدینهی است که اگر شاخص مذکور مساوی ۱ باشد، دو بردار a و b بر هم منطبق خواهند بود. تابع هدفی که در این بخش بیان شده است، بر مبنای سنجش انطباق دو بردار v_d و v_m استوار است. این بردارها در بخش ۲.۳. تعریف شده‌اند و شاخص MAC برای آن‌ها به صورت رابطه‌ی ۹ تعریف می‌شود:

$$\text{MAC}_v = \frac{|(v_d)^T v_m|}{((v_d)^T v_d)((v_m)^T v_m)} \quad (9)$$

نهایتاً، تابع هدف پیشنهادی ۲ به صورت رابطه‌ی ۱۰ بیان می‌شود:

$$J_2(d_1, d_2, \dots, d_{N_e}) = |1/0 - \text{MAC}_v| \quad (10)$$

که در آن، علامت $|$ ، نماد قدرمطلق است. همانند روش پیشنهادی اول و با توجه به تعریف ارائه شده در بخش پیشین، مسئله‌ی تشخیص آسیب به صورت یک مسئله‌ی بهینه‌یابی مقید تعریف می‌شود (رابطه‌ی ۱۱):

$$\begin{aligned} \text{Find } \mathbf{d} &= \{d_1 \quad d_2 \quad \dots \quad d_{N_e}\}^T \Rightarrow \text{Minimize } J_2 \\ \text{Subject to: } &0 \leq d_i \leq 1/0 \end{aligned} \quad (11)$$

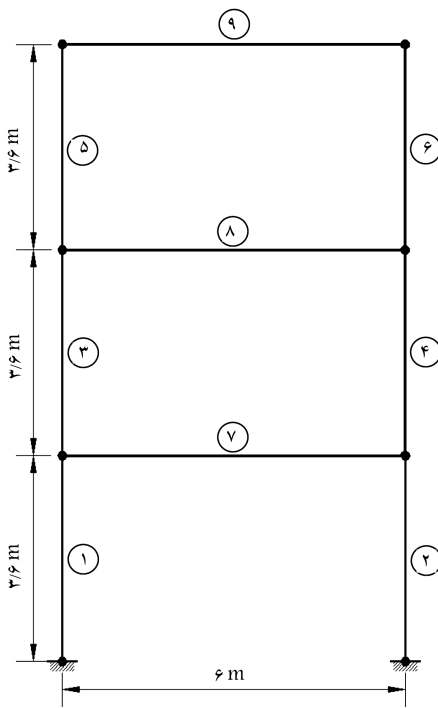
بعد از تشکیل تابع هدف با کمک اطلاعات مودال ثبت شده، الگوریتم بهینه‌یابی رقابت استعماری جهت ارزیابی تابع هدف و تعیین جواب‌های بهینه استفاده می‌شود.

۴. مطالعات عددی

در این بخش، به ارزیابی روش‌های پیشنهادی جهت آشکارسازی آسیب در سازه‌ها برداخته شده است. در ادامه، ۳ مثال عددی از سازه‌های مهندسی مختلف مورد بررسی قرار گرفته است.

۴.۱. قاب دو بعدی ۳ طبقه

این مثال، به مطالعه‌ی یک قاب فولادی دو بعدی ۳ طبقه اختصاص دارد. مطالع شکل ۲، مدل اجزاء محدود این قاب، شامل ۹ المان است. چگالی و مدول کشسانی کلیه‌ی اعضاء، به ترتیب برابر با 7850 kg/m^3 و 200 GPa هستند. همچنین، وزن واحد طول، سطح مقطع، و ممان ایرسی برای ستون‌ها، به ترتیب برابر



شکل ۲. مدل اجزاء محدود قاب ۳ طبقه.

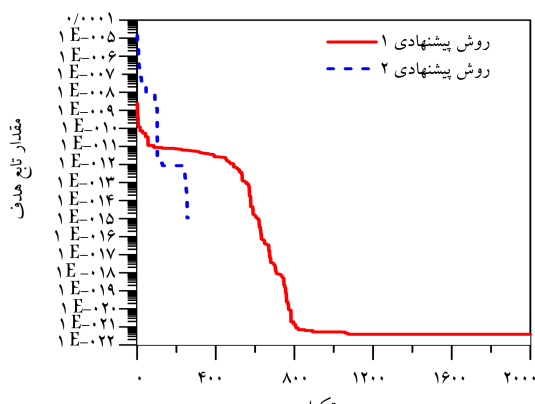
جدول ۱. الگوهای آسیبی مربوط به قاب دو بعدی ۳ طبقه.

الگوی آسیب ۲		الگوی آسیب ۱	
المان	آسیب (%)	المان	آسیب (%)
۱۰	۲	۱۵	۴
۵	۵	۱۰	۷
۲۰	۹		

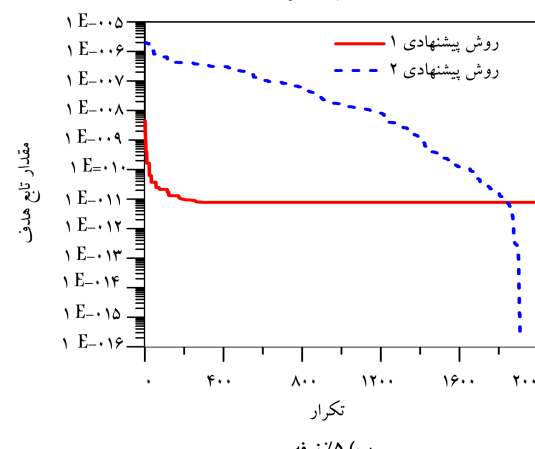
با kg/m^3 و 150 cm^3 ، 117 kg/m و $10^{-4} \times 10^{-4} \text{ cm}^3$ ، $119/32 \text{ cm}^3$ ، 152 cm^3 و $10^{-4} \times 10^{-4} \text{ cm}^3$ در نظر گرفته می‌شود. به منظور بررسی کارآیی روش‌های پیشنهادی در شناسایی آسیب‌ها، دو الگوی آسیبی به صورت آنچه که در جدول ۱ ارائه شده است، در نظر گرفته می‌شود. با مدل سازی آسیب‌ها در فضای نرم افزار متلب، اطلاعات موردنیاز از سازه‌ی آسیب دیده تولید می‌شود و در نهایت، با پیاده‌سازی روش‌های پیشنهادی و مقایسه‌ی نتایج به دست آمده با الگوهای مدل سازی شده، پیرامون کارآیی و دقیقت روش‌های ارائه شده قضایت می‌شود. لازم به توضیح است که در این مثال، از اطلاعات فقط یک مود (مود اول) استفاده شده است. همچنین، پارامترهای الگوریتم بهینه‌یابی به این صورت اتخاذ شده‌اند: تعداد جمعیت اولیه $= 200$ ، تعداد جمعیت نخبه (کشورهای استعمارگر اولیه) $= 20$ و تعداد تکرار $= 2000$. نتایج به دست آمده، برای حالتی که اطلاعات ثبت شده از سازه‌ی آسیب دیده، عاری از هرگونه نوفه باشند، در شکل‌های ۱۱۳ و ۱۱۴ الف، به ترتیب برای الگوهای آسیبی ۱ و ۲ نشان داده شده‌اند. همان‌طور که ملاحظه می‌شود، روش‌های پیشنهادی قادرند تا محل و شدت آسیب را کاملاً دقیق شناسایی کنند. به منظور مدل سازی شرایط واقعی و اعمال عدم قطعیت‌های موجود در داده‌های ثبت شده توسط حسگرهای نوفه‌های تصادفی با شدت ۵٪ به بسامدهای طبیعی مربوط به سازه‌ی آسیب دیده افزوده و کارآیی روش‌های ارائه شده بررسی شده است. نتایج به دست آمده در این

حالات، برای الگوهای آسیبی ۱ و ۲، به ترتیب در شکل‌های ۳ ب و ۴ ب ترسیم شده است.

مشاهده می‌شود که در حالت نوچه دار، برخی از الگوهای سالم به اشتباه به عنوان الگان آسیب‌دیده گزارش شده‌اند. البته، شدت آسیب در این دسته از الگوهای بسیار کم است و لذا مشکلی در کارآیی روش‌های پیشنهادی بوجود نمی‌آید. لازم به توضیح است که تأثیرات نامطابق نوچه در روش پیشنهادی اول به مرتبه بیشتر از روش پیشنهادی دوم است. دلیل این ادعا، دقت بالای نتایج به دست آمده از پیاده‌سازی روش پیشنهادی دوم در حالات نوچه دار است. در ادامه، به بررسی منحنی‌های هم‌گرایی الگوریتم بهینه‌یابی پرداخته شده است. برای نمونه در شکل ۵، منحنی‌های هم‌گرایی مربوط به الگوی آسیب اول، در حالات مختلف تحت بررسی ترسیم شده است؛ که در آن‌ها محور قائم، مقیاس لگاریتمی دارد. همان‌طور که ملاحظه می‌شود، در حالت بدون نوچه، تابع هدف اول به عددی بسیار نزدیک به صفر هم‌گرا شده است. این در حالی است که تابع هدف دوم، بعد از تعدادی تکرار (حدوداً بعد از ۲۵۰ تکرار) به عدد صفر مطلق هم‌گرا شده است. توجه شود که با عنایت بر راهبرد تطبیقی به کار برده شده در رابطه‌سازی توابع هدف، مقدار کمیتهی آن‌ها برابر با عدد صفر مطلق خواهد بود. لذا بدینهی است که هر چه مقدار توابع هدف به عدد صفر نزدیک‌تر شود، از دیدگاه مقاهم ریاضی، متغیرهای مسئله با دقت بیشتری به نقطه‌ی کمیتهی مطلق توابع نزدیک خواهند شد. در مسئله‌ی طرح شده در این نوشتار، مفهوم فیزیکی نزدیک‌تر شدن هر چه بیشتر مقنار تابع هدف به صفر مطلق به صورت تشخیص

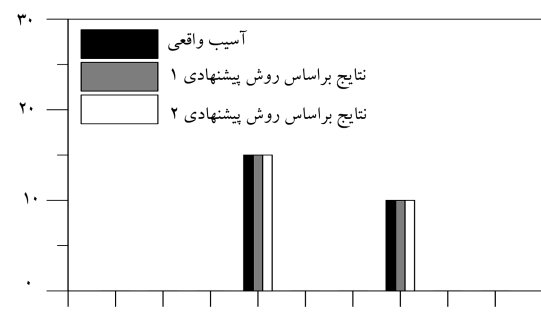


الف) بدون نوچه.

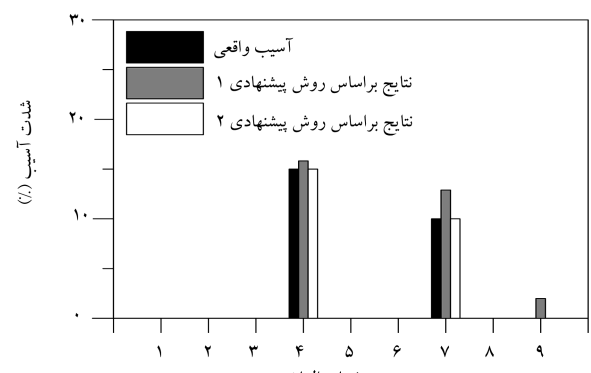


ب) ۵٪ نوچه.

شکل ۵. منحنی‌های هم‌گرایی گام‌های مختلف بهینه‌یابی برای الگوی آسیب ۱ مربوط به قاب ۳ طبقه.

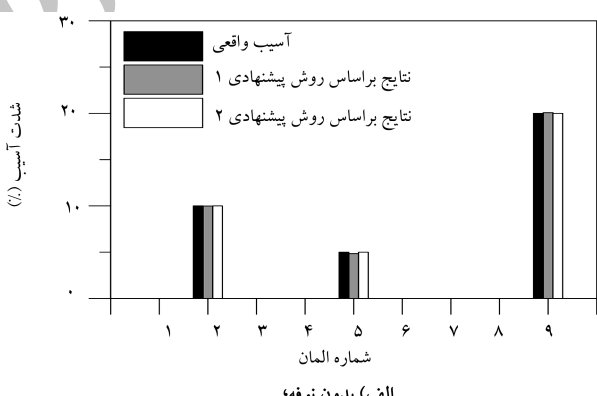


الف) بدون نوچه.

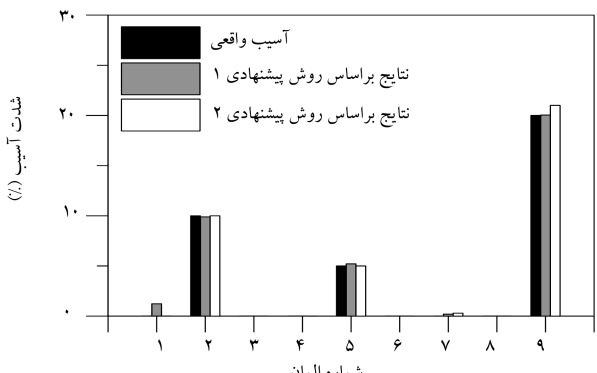


ب) ۵٪ نوچه.

شکل ۳. نتایج شناسایی آسیب مربوط به الگوی آسیب ۱، مربوط به قاب ۳ طبقه.



الف) بدون نوچه.



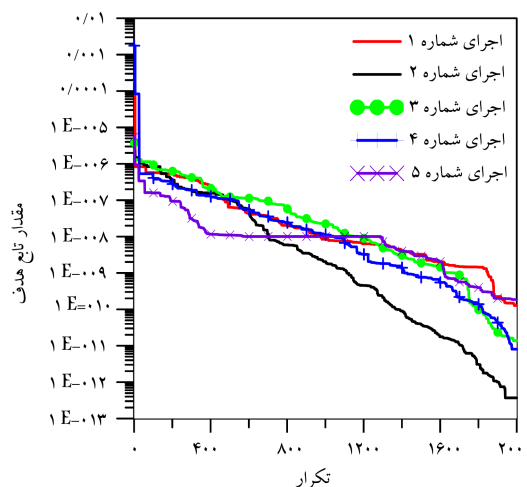
ب) ۵٪ نوچه.

شکل ۴. نتایج شناسایی آسیب مربوط به الگوی آسیب ۲، مربوط به قاب ۳ طبقه.

است. همان‌طوری که ملاحظه می‌شود، بهینه‌یاب توانسته است در تمامی حالات، به نقطه‌ی اسیب نزدیکی به عدد صفر همگرا شود و علی‌رغم شروع بهینه‌یاب با حدس‌های مختلفی از جواب‌های اولیه (که منجر به شروع این متحننی‌ها از اعداد متفاوتی شده است)، الگوریتم توانسته است نقطه‌ی کمینه‌ی مطلق را با دقت قابل قبولی تشخیص دهد. این موضوع بدلیل روند خاصی است که در این الگوریتم جهت جستجوی فضای پاسخ استفاده شده است. البته باید توجه داشت که در حالت وجود نوفه، روش پیشنهادی دوم هم به عدد صفر مطلق همگرا نشده است، ولی دقت بهینه‌یابی با توجه به شدت آسیب‌های تمحین زده شده قابل قبول است، که حاکی از قدرت بالای روش ارائه شده در شناسایی آسیب در حالت وجود نوفه است.

۲.۴. خرپای دو بعدی ۱۵ عضو

در دوین مطالعه‌ی عددی، یک خرپای ۱۵ عضوی مورد بررسی قرار گرفته است. مدل اجراء محدود این خرپا در شکل ۷ نشان داده شده است. چگالی و مدول کشسانی سازه‌ی مذکور برابر با مقادیر مشابه برای قاب مطالعه‌شده در بخش ۱.۴ است. جرم واحد طول و سطح مقطع بهتری برای المان‌های افقی و قائم برابر با



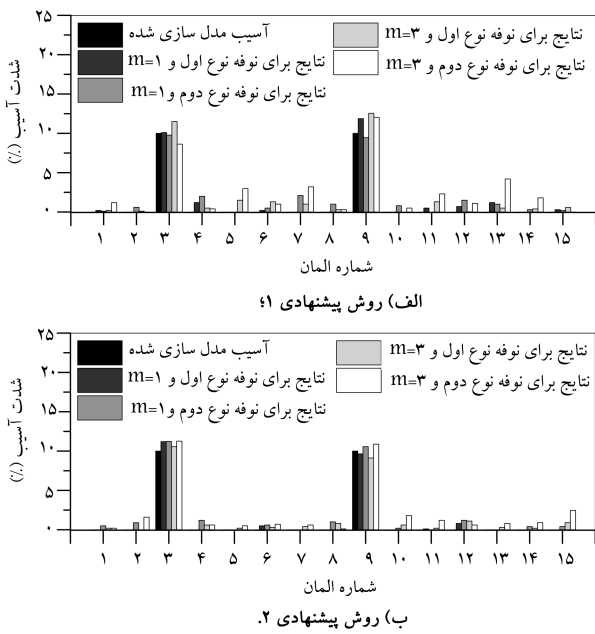
شکل ۶. متحننی‌های همگرایی بهینه‌یاب رقابت استعماری برای ۵ اجرای مختلف روش پیشنهادی ۲ بر روی الگوی آسیب ۲ مربوط به قاب ۳ طبقه در حالت وجود ۵٪ نوفه.

دقیق‌تر مقادیر واقعی آسیب‌های ایجاد شده در سازه (با کمترین خطأ در تخمین محل و شدت آسیب‌ها) قابل بیان است. این کاهش و نزدیکی به صفر مطلق با توجه به پیچیدگی فضای پاسخ و تعدد نقاط اکسترم نسبی، مهم‌ترین عامل نمایان‌کننده‌ی همگرایی به پاسخ بهینه‌ی مسئله است. لذا، با توجه به نکات مذکور ملاحظه می‌شود که تابع هدف دوم توانسته است دقیقاً به نقطه‌ی کمینه‌ی مطلق مورد انتظار همگرا شود. این در حالی است که تابع هدف اول، به نزدیکی نقطه‌ی مذکور (البته با خطای بسیار کم) رسیده است. چنان شرایطی در حالات نوفه‌دار هم قابل ملاحظه است (شکل ۵ ب). بنابراین، می‌توان نتیجه گرفت که تابع هدف دوم در جستجوی دقیق دامنه‌ی جواب و یافتن نقطه‌ی کمینه‌ی مطلق به عنوان پاسخ بهینه‌ی پایدارتر است. بهینه‌یابی روش پیشنهادی دوم علی‌رغم حساسیت بالا به رخداد آسیب، حساسیت بسیار کمی به نوفه دارد. این قضیه، با توجه به ماهیت توابع هدف پیشنهادی قبل توجیه است. نظر به اینکه تابع هدف دوم بر مبنای سنجش هندسی بردارها استوار است، لذا، نوفه‌ی تصادفی، تأثیر زیادی در روند جستجوی الگوی بردارها نخواهد داشت.

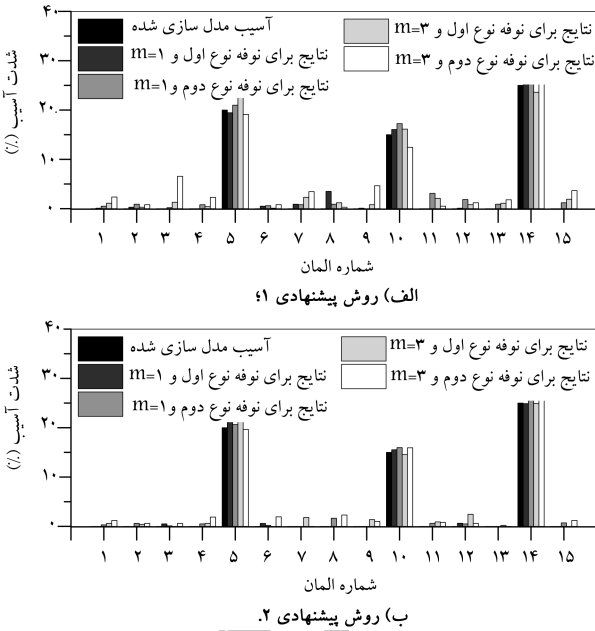
در ادامه‌ی این بخش، به منظور بررسی دقت و کارایی الگوریتم بهینه‌یابی استفاده شده، مقایسه‌ی بین الگوریتم بهینه‌یابی رقابت استعماری و الگوریتم بهینه‌یابی ژنتیک انجام شده است. برای این منظور، الگوی آسیب شماره‌ی ۲ مربوط به قاب ۳ طبقه، تحت شرایطی که ۵٪ نوفه‌ی تصادفی در سامانه‌های طبیعی وجود دارد و از تابع هدف پیشنهادی دوم برای حل مسئله استفاده شود، مورد بررسی قرار گرفته است. هر کدام از الگوریتم‌های بهینه‌یابی، ۵ بار اجرا و نتایج به دست آمده در جدول ۲ خلاصه شده است. لازم به توضیح است که بیشینه‌ی تعداد تکرار در بهینه‌یابی ژنتیک، ۱۰۰۰۰ تکرار در نظر گرفته شده است. در جدول مذکور، علاوه بر نتایج مربوط به هر یک از اجراهای پنج‌گانه (برای هر کدام از الگوریتم‌های بهینه‌یابی)، میانگین شدت آسیب‌های تمحین زده شده هم بیان شده است. از بررسی جدول ۲ ملاحظه می‌شود که الگوریتم رقابت استعماری، در تمام اجراهای، به جواب تقریباً یکسانی از پاسخ بهینه‌ی مسئله دست یافته است. این در حالی است که الگوریتم ژنتیک، در برخی از اجراهای، به دلیل گرفتاری در نقاط کمینه‌ی نسبی به جواب‌های نادرست متنه شده است. به طوری که از بررسی میانگین نتایج به دست آمده از الگوریتم ژنتیک، المان سالم هفتم، المانی آسیب‌دیده با شدت آسیب ۵٪ گزارش شده است. بنابراین می‌توان نتیجه گرفت که الگوریتم رقابت استعماری در قیاس با الگوریتم ژنتیک، پایدارتر است و گرفتار نقاط کمینه‌ی نسبی موجود در دامنه نمی‌شود. متحننی همگرایی اجراهای پنج‌گانه مربوط به بهینه‌یاب رقابت استعماری، در شکل ۶ ترسیم شده

جدول ۲. مقایسه‌ی الگوریتم‌های بهینه‌یابی رقابت استعماری و ژنتیک در تشخیص آسیب با روش پیشنهادی ۲ (شدت آسیب بر حسب درصد).

شماره‌ی المان	نتایج مربوط به الگوریتم رقابت استعماری					نتایج مربوط به الگوریتم رقابت استعماری				
	اجrai ۱	اجrai ۲	اجrai ۳	اجrai ۴	اجrai ۵	اجrai ۱	اجrai ۲	اجrai ۳	اجrai ۴	اجrai ۵
میانگین (ژنتیک)	میانگین (رقابت)	میانگین (رقابت)	میانگین (رقابت)	میانگین (رقابت)	میانگین (رقابت)	میانگین (رقابت)	میانگین (رقابت)	میانگین (رقابت)	میانگین (رقابت)	میانگین (رقابت)
۱	۰/۱	۰	۰	۰	۰	۰/۱	۰	۰	۰	۰
۲	۱۰/۱	۱۰/۱	۹/۴	۰/۲	۱۰/۲	۱۲/۱	۱۰/۵	۹/۸	۱۰	۹/۹
۳	۰	۰	۰/۱	۰/۱	۰	۰	۱/۵	۰	۰	۰
۴	۰	۰	۲/۱	۰/۳	۰	۰	۰	۰	۰	۰
۵	۵/۰	۵/۰	۴/۱	۵/۵	۶/۳	۱/۱	۳/۴	۵/۳	۴/۹	۵/۱
۶	۰	۰	۰/۲	۰	۱/۵	۰	۰	۰	۰	۰/۱
۷	۰	۰	۰/۱	۱۹/۱	۰/۲	۸/۱	۰	۰/۱	۰/۵	۰/۷
۸	۰	۰	۰/۲	۰	۰	۰	۰	۰/۲	۰/۱	۰
۹	۱۹/۷	۲۰/۰	۱۷/۷	۱۸/۵	۱۹/۴	۱۹/۲	۱۷/۴	۲۰/۲	۲۰/۳	۱۹/۸



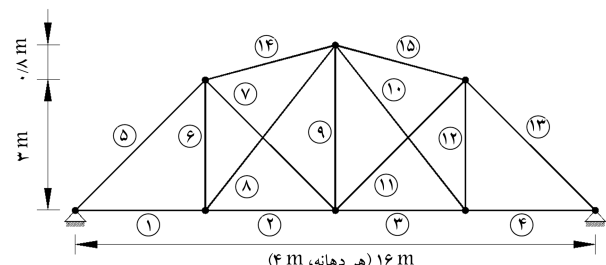
شکل ۸. نتایج شناسایی آسیب مربوط به الگوی آسیب ۱ در خرپای ۱۵ المانه.



شکل ۹. نتایج شناسایی آسیب مربوط به الگوی آسیب ۲ در خرپای ۱۵ المانه.

تفاضل ماتریس نرمی تعیین یافته در حالات سازه‌ی سالم و آسیدیده، ارائه شده است. سپس، مساله با کمک روش کمینه‌ی مربعات حل شده و کارایی روش، با مطالعه‌ی سناریوهایی بر روی یک تیر ساده‌ی ۲۰ المانه، در حالتی که فقط از اطلاعات درجهات آزادی قائم تیر در مود اول ارتعاش آزاد استفاده شده باشد، مورد ارزیابی قرار گرفته است. جزئیات بیشتر پیرامون روش مذکور و مثال‌های مطالعه‌شده را می‌توان در مرجع [۲۵] مطالعه کرد؛ لذا در این بخش، به منظور مقایسه‌ی آنها، مثال مرجع مذکور تحت سناریوهای مدل‌سازی شده در آن مورد مطالعه قرار گرفته است. مدل اجزاء محدود تیر استفاده شده در مرجع [۲۵]، در شکل ۱۰ نشان داده شده است، که مشخصات آن به این شرح است:

مدول کشسانی و چگالی، به ترتیب برابر با 200 GPa و 7800 kg/m^3 ; سطح



شکل ۷. مدل اجزاء محدود خرپای ۱۵ المانه.

جدول ۳. الگوهای آسیبی مربوط به خرپای ۱۵ المانه.

الگوی آسیب ۱	الگوی آسیب ۲	
	المان	آسیب (%)
۲۰	۵	۱۰
۱۵	۱۰	۱۰
۲۵	۱۴	۹

و $78/50 \text{ kg/m}^3$ ، برای المان‌های مورب کناری برابر با $45/50 \text{ kg/m}^3$ و 50 cm^5 ، و برای المان‌های مورب داخلی برابر با $62/80 \text{ kg/m}^3$ و 80 cm^5 است. دو الگوی آسیبی مانند آنچه که در جدول ۳ بیان شده است، در نظر گرفته شده است. در این مطالعه، به منظور بررسی تأثیرات تعداد مودهای در دسترس در قابلیت روش‌های پیشنهادی، دو حالت در نظر گرفته شده است:

۱. حالتی که در آن اطلاعات فقط یک مود اول در دسترس است،
۲. حالتی که اطلاعات سه مود اول سازه در دسترس هستند.

در مثال قبلی (بخش ۱.۴)، به منظور بررسی تأثیرات شرایط واقعی فقط بسامدهای طبیعی، نوعه نویشده بودند. این در حالی است که در واقعیت هم بسامدهای طبیعی و هم شکل‌های مودی نوعه نویشده هستند. برای اساس، در این مثال دو نوع نویه تعریف شده است: نوع اول: ۷٪ نویه در بسامدهای طبیعی؛ نوع دوم: ۲٪ نویه در بسامدهای طبیعی و ۲٪ نویه در شکل‌های مودی.

لازم به توضیح است که پارامترهای بهینه‌یابی، مشابه با مثال قبل در نظر گرفته شده‌اند. در نتایج بدست آمده، که در شکل‌های ۸ و ۹ نشان داده شده‌اند، m نشان‌گر تعداد مودهای استفاده شده است. همان‌طور که ملاحظه می‌شود، روش‌های پیشنهادی در مجموع قادرند تا محل و شدت آسیب‌های رخداد را به خوبی تشخیص دهند. با وجود این مشاهده می‌شود که در هر دو روش مذکور، با افزایش تعداد مودهای استفاده شده، تأثیرات نویه‌ها بیشتر شده و برخی از المان‌های سالم هم آسیب دیده معرفی شده‌اند. البته لازم به توضیح است که شدت آسیب‌های ذکر شده نسبتاً کم است و مشکلی در تشخیص المان‌های آسیب دیده به وجود نمی‌آید. همچنین، بررسی نتایج حاکی از آن است که حساسیت روش پیشنهادی دوم نسبت به نویه‌های اتفاقی کمتر از روش پیشنهادی اول است. برای اساس، می‌توان نتیجه گرفت که روش پیشنهادی دوم، پایداری بیشتری در برابر شرایط واقعی از خود نشان می‌دهد. این قضیه، در هر دو نوع نویه مدل‌سازی شده قابل مشاهده است.

۳.۴. تیر ساده‌ی ۲۰ عضوی

مثال حاضر، به مقایسه‌ی دقت روش‌های پیشنهادی در این نوشتار و روش پیشنهادی در تحقیقات انجام شده [۲۵] اختصاص دارد، که در آن ضمن معرفی ماتریس نرمی تعیین یافته، رابطه‌ی تقریبی برای تخمین آسیب در سازه‌ها با کمک بسط تیلور و

این مهم، با توجه به راهبرد بهکاررفته در توابع هدف پیشنهادی در نوشتار حاضر، قابل توجیه است. بعلاوه، نتایج این مطالعه هم مؤید دقت بالای تابع هدف پیشنهادی دوم در قیاس با تابع هدف اول است.

۵. نتیجه‌گیری

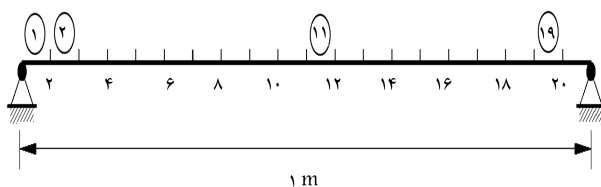
در این نوشتار، دو روش جدید جهت تشخیص آسیب در سازه‌ها با کمک اعضاء روی قطر اصلی ماتریس نرمی تعیین یافته ارائه شده است. این روش‌ها بر پایه‌ی تعریف مسئله‌ی بهصورت مسئله‌ی بهینه‌یابی استوار هستند. در روش اول، تابع هدفی براساس راهبرد انطباق نظریه‌ی ارائه شده است. این در حالی است که تابع هدف دوم، بر مبنای سنجش طابق هندسی دو بردار رابطه‌سازی شده است. برای حل مسئله‌ی بهینه‌یابی، از الگوریتم تکاملی رقابت استعماری استفاده شده است. این الگوریتم، سرعت اجرایی بالایی دارد و به خاطر استفاده از روابط آماری و احتمالاتی، فضای پاسخ را با راهبرد یکنواختی مورد بررسی قرار داده است. بهمنظور بررسی کارآیی روش‌های پیشنهادی، ۳ مثال عددی با الگوهای آسیبی مختلف ارزیابی و چالش‌های مختلفی مورد مطالعه قرار گرفته است. نتایج به دست آمده، به این شرح هستند:

۱. هر دو تابع هدف پیشنهادی قادرند تا محل و شدت آسیب را با دقت بسیار بالایی تشخیص دهند.
۲. هر دو روش قادرند تا با کمک اطلاعات فقط مود اول، تخمین مناسبی از محل و شدت آسیب ارائه دهند.

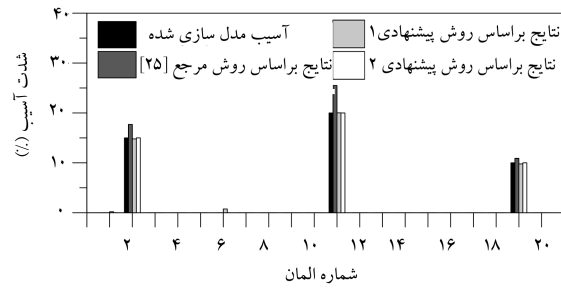
۳. حساسیت کلی روش‌های پیشنهادی به نویه‌های انفاقي نسبتاً کم است. بهطور کلی، با افزایش تعداد مودهای استفاده شده، تأثیرات نویه‌ها تشدید می‌شود.

۴. بهمنظور مقایسه‌ی توابع هدف پیشنهادی ۱ و ۲، معیارهایی چون حساسیت تابع هدف به نویه‌های انفاقي و همگرایی به صفر مطلق مود بررسی قرار گرفته و ملاحظه شده است که تابع هدف پیشنهادی ۲، پایداری بیشتری دارد. می‌توان نتیجه گرفت که تابع هدف دوم، براساس بررسی میزان انطباق هندسی دو بردار استوار است ولذا، حضور نویه‌های تصادفي، مشکلی در برقراری انطباقی کلی وجود نمی‌آورند.

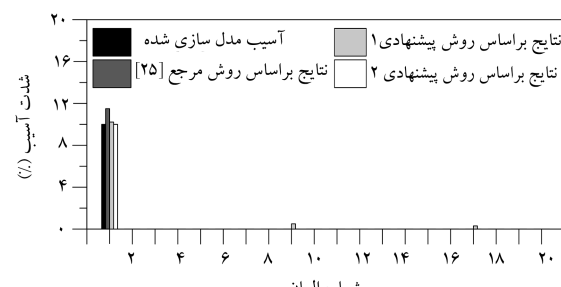
۵. الگوریتم رقابت استعماری در قیاس با الگوریتم زنگیک، پایدارتر است و گرفتار نقاط کمینه‌ی نسبی نمی‌شود. همچنین، روند آمار و احتمالاتی بهکاررفته در این الگوریتم، نه فقط وابستگی الگوریتم را به پاسخ‌های حدس زده شده در شروع عملیات بهینه‌یابی مستقیم کرده است، بلکه باعث سرعت همگرایی بالاتر آن نیز شده است.



شکل ۱۰. مدل اجزاء محدود تیر ساده‌ی ۲۰ عضوی.



(الف) ستاریوی ۱



(ب) ستاریوی ۲

شکل ۱۱. نتایج شناسایی آسیب مربوط به تیر ۲۰ المان.

قطع و ممان اینرسی، به ترتیب برابر با $50 \times 10^{-6} \text{ m}^4$ و $17 \times 10^{-9} \text{ N}$ همچنین، دو ستاریوی مطالعه شده به این شرح هستند: (الف) ۱۵٪ آسیب در المان دوم، ۲۰٪ آسیب در المان یازدهم، و ۱۰٪ آسیب در المان نوزدهم؛ (ب) ۱۰٪ آسیب در المان اول.

نتایج به دست آمده براساس روش‌های پیشنهادی در این نوشتار و روش مذکور در مرجع [۱۵] در شکل ۱۱ نشان داده شده است. یادآور می‌شود که در پیاده‌سازی روش‌های پیشنهادی، بهمنظور فراهم آوردن شرایط مقایسه‌ی مناسب، مطابق مرجع [۱۵]، از اطلاعات متناظر با درجات آزادی قائم فقط مود اول در حالت بدون نویه استفاده شده است. همچنین، پارامترهای بهینه‌یاب، مانند مثال‌های قبلی است. ملاحظه می‌شود که روش‌های پیشنهادی در این نوشتار توانسته‌اند با دقت بیشتری نسبت به روش اشاره شده در مرجع [۱۵]، شدت آسیب‌های مدل‌سازی شده را تشخیص دهند؛ که

پانوشت‌ها

1. direct strategy
2. signal processing
3. inverse problem

4. mathematical regularization
5. Ill-condition
6. cost function
7. genetic algorithm (GA)
8. pattern search optimization algorithm (PSOA)

9. gravitational search optimization algorithm (GSOA)
10. grey coefficients
11. charged system search (CSS)
12. Noise
13. generalized flexibility matrix (GFMt)
14. imperialist competitive optimization algorithm (ICOA)
15. evolutionary optimization algorithm
16. modal assurance criterion (MAC)

مراجع (References)

1. Fan, W. and Qiao, P. "Vibration-based damage identification methods: A review and comparative study", *Struct. Health Monit.*, **10**(1), pp. 83-111 (2011).
2. Chandrashekhar, M. and Ganguli, R. "Uncertainty handling in structural damage detection using fuzzy logic and probabilistic simulation", *Mech. Syst. Signal Process.*, **23**(2), pp. 384-404 (Feb. 2009).
3. Vinayak, H.K., Kumar, A., Agarwal, P. and Thakkar, S.K. "Neural network-based damage detection from transfer function changes", *J. Earth. Eng.*, **14**(5), pp. 771-787 (2010).
4. Benna, P. and Ganguli, R. "Structural damage detection using fuzzy cognitive maps and Hebbian learning", *Applied Soft Computing*, **11**(1), pp. 1014-1020 (2011).
5. Kim, H. and Melhem, H. "Damage detection of structures by wavelet analysis", *Eng. Struct.*, **26**(3), pp. 347-362 (2004).
6. Bagheri, A., Ghodrati Amiri, G., Khorasani, M. and Bakhshi, H. "Structural damage identification of plates based on modal data using 2D discrete wavelet transform", *Struct. Eng. Mech.*, **40**(1), pp. 13-28 (2011).
7. Xia, Y. and Hao, H. "Statistical damage identification of structures with frequency changes", *J. Sound Vib.*, **263**(4), pp. 853-870 (2003).
8. Yang, Q.-W. and Liu, J.-K. "Damage identification by the eigenparameter decomposition of structural flexibility change", *Int. J. Numer. Meth. Eng.*, **78**(4), pp. 444-459 (2009).
9. Godarzi, Y., Torkzadeh, P. and Salajegheh, E. "The application of the flexibility matrix in structural damage localization via strain energy", *6th International Conference on Seismology and Earthquake Engineering*, Iran, pp. 1-7 (in Persian) (16-28 May 2011).
10. Yan, W.-J., Ren, W.-X. and Huang, T.-L. "Statistic structural damage detection based on the closed-form of element modal strain energy sensitivity", *Mech. Syst. Signal Process.*, **28**, pp. 183-194 (2012).
11. Abbasnia, R. and Sadri, Gh. "Assessment and comparison of damage localization indices in three dimensional reinforced concrete frames", *Sharif J. Sci. Tech., Transaction on: Civil Engineering*, **28-2**(3), pp. 69-77 (in Persian) (2012).
12. Amini, F. and Shahidzadeh, M.S. "Damage detection using a new regularization method with variable parameter", *Arch. Appl. Mech.*, **80**(3), pp. 255-269 (2010).
13. Rucevskis, S., Sumbatyan, M.A., Akishin, P. and Chate, A. "Tikhonov's regularization approach in mode shape curvature analysis applied to damage detection", *Mech. Res. Commun.*, **65**, pp. 9-16 (April 2015).
14. Teughels, A. and DeRoeck, G. "Damage detection and parameter identification by finite element model updating", *Arch. Comput. Meth. Engng.*, **12**(2), pp. 123-164 (2005).
15. Perera, R., Fang, S.-E. and Huerta, C. "Structural crack detection without updated baseline model by single and multiobjective optimization", *Mech. Syst. Signal Process.*, **23**(3), pp. 752-768 (2009).
16. Sandesh, S. and Shankar, K. "Application of a hybrid of particle swarm and genetic algorithm for structural damage", *Inverse Probl. Sci. Eng.*, **18**(7), pp. 997-1021 (2010).
17. Ghodrati Amiri, G., Seyed Razzaghi, S.A. and Bagheri, A. "Damage detection in plates based on pattern search and genetic algorithms", *Smart Struct. Syst.*, **7**(2), pp. 117-132 (2011).
18. Guo, H.Y. and Li, Z.L. "Structural damage identification based on bayesian theory and improved immune genetic algorithm", *Expert Syst. Appl.*, **39**(7), pp. 6426-6436 (2012).
19. Sokhangou, F., Daei, M. and Hejazi, M. "Presenting a two-stage method for structural damage localization and quantification via structural dynamic properties and gravitational search optimization algorithm", *7th National Congress on Civil Engineering*, Iran, pp. 1-8, (in Persian) (7-8 May 2013).
20. Kaveh, A., Javadi, S.M. and Maniat, M. "Damage assessment via modal data with a mixed particle swarm strategy, ray optimizer, and harmony search", *Asian J. Civil Eng. (BHRC)*, **15**(1), pp. 95-106 (2014).
21. Zare Hosseinzadeh, A., Bagheri, A. and Ghodrati Amiri, G. "Two-stage method for damage localization and quantification in high-rise shear frames based on the first mode shape slope," *Int. J. Opt. Civil Eng.*, **3**(4), pp. 653-672 (2013).
22. Tabrizian, Z., Ghodrati Amiri, G. and Hossein Ali Beygi, M. "Charged system search algorithm utilized for structural damage detection", *Shock Vib.*, **2014**, 13 p. (2014).
23. Atashpaz-Gargari, E. and Lucas, C. "Imperialist competitive algorithm: an algorithm for optimization inspired by imperialistic competition", *IEEE Congress on Evolutionary Computation*, Singapore, pp. 4661-4667 (2007).
24. Kabbazi, A., Atashpaz-Gargari, E. and Lucas, C. "Imperialist competitive algorithm for minimum bit error rate

- beam forming”, *Int. J. Bio-Inspired Comp.*, **1**(1-2), pp. 125-33 (2009).
25. Li, J., Wu, B., Zeng, Q.C. and Lim, C.W. “A generalized flexibility matrix based approach for structural damage detection”, *J. Sound Vib.*, **329**(22), pp. 4583-4587 (2010).
26. Ge, M., Lui, E.M. and Khanse, A.C. “Non-proportional damage identification in steel frames”, *Eng. Struct.*, **32**(2), pp. 523-533 (2010).
27. Allemand, R.J. and Brown, D.L. “A correlation coefficient for modal vector analysis”, *1st International Modal Analysis Conference*, pp. 110-116 (1982).
28. Randall, J.A. “The modal assurance criterion – twenty years of use and abuse”, *J. Sound Vib.*, **37**(8), pp. 14-21 (August 2003).
29. West, W.M. “Illustration of the use of modal assurance criterion to detect structural changes in an orbiter test specimen”, *Proceedings of Air Force Conference on Aircraft Structural Integrity*, pp. 1-6 (1984).

Archive of SID